

ივანე ჯავახიშვილის სახელობის ობილისის სახელმწიფო უნივერსიტეტი

მეცნიერებელი კონფერენცია

ზუსტ და საბუნებისმეტყველო მეცნიერებებში

## **SENS 2017**

დოქტორანტის კოლოკვიუმი

თემა: პოლონომური კვანძების

პოლონომური პარამეტრიზაცია

დოქტორანტი ვიოლეტა აფხაზავა

მიმართულება: კომპიუტერული მეცნიერებები

სელმძღვანელი: კომპიუტერულ მეცნიერებათა დოქტორი,

პროფესორი ალექსანდრე გამყრელიძე

## სარჩევი

### Contents

აბსტრაქტი	3
შესავალი	4
ამოცანის დასმა	6
AFL წირების გარდაქმნა პოლონომურ სახეზე	9
(AFL → Holonomic ალგორითმი)	9
პარამეტრიზაციის ფუნქციის თვისებები და წონის ფუნქცია	16
პოლონომური პარამეტრიზაციის ფუნქცია	24
სირთულეები და სამომავლო გეგმები	27
დანართი 1	28
დანართი 2	30
გამოყენებული ლიტერატურა	32

## აბსტრაქტი

წინამდებარე ნაშრომი შესრულებულია დოქტორანტურის სავალდებულო კომპონენტის დოქტორანტის კოლოქიუმის შესაბამისად.

სტატიაში განხილულია პოლონომური კვანძების პოლონომური პარამეტრიზაციის საკითხები. თემას საფუძვლად უდევს კვანძთა მათემატიკურ თეორია, რომელიც სათავეს იღებს გაუსის შრომებიდან. შემდგომში რაიდემაისტერმა შემოიღო კვანძების ე. წ. AFL აღწერა, რომლიც განავითარა პოტცმა. 1997 წელს ვასილიევმა წარადგინა კვანძების პოლონომური პარამეტრიზაცია და დაამტკიცა, რომ ყოველი სახის კვანძს გააჩნია პოლონომური პარამეტრიზაცია.

წარმოდგენილ ნაშრომში განხილულია პოლონომური პარამეტრიზაციის კონკრეტული ფუნქცია, შესწავლილია მისი თვისებები, დამუშავებულია მთლიანი წირის ფუნქციით აღწერის ალგორითმი და ნაჩვენებია მიღებული წირის პოლონომურობა.

გასაღები სიტყვები: კვანძები, პოლონომური პარამეტრიზაცია, ტოპოლოგიის ალგორითმები

**Key-Words:** Knots, holonomic parametrizations, AFL-representation of knots

## შესავალი

კვანძს ვუწოდებთ სამგანზომილებიან სივრცეში მდებარე წირს, რომლის ბოლოებიც შეერთებულია. დასაშვებია კვანძის დეფორმაცია გაწყვეტის გარეშე (იზოტოპია) – არ დაიშვება წირის გაჭრა და თავიდან შეწებება არცერთ წერტილში.

კვანძთა მათემატიკურ თეორიას საფუძველი დაუდო გაუსმა, რომელმაც 1833 წელს გამოთვალი ე. წ. გაუსის ბმის ინტეგრალი ორი კვანძის ბმულობის რიცხვის დასადგენად. მისმა მოსწავლემ იოჰან ბენედიქტ ლისტინგმა განაგრძო ეს თეორია. ასევე კვანძებით იყვნენ დაინტერესებული ლორდი კელვინი, პუანკარე, დენი.

კვანძთა თეორიით ინტერესდებოდნენ არა მხოლოდ მათემატიკოსები, დიდი წვლილი მიუძღვით ფიზიკოსებსაც, დაწყებული ლორდ კელვინიდან, დასრულებული ედვარდ კიტენით, რომელმაც შემოიტანა ახალი ცნება – ტოპოლოგიური კვანტური კელის თეორია.

კვანძთა თეორია განიხილება სხვა საბუნებისმეტყველო მეცნიერებებიც: გენეტიკაში დნმ მოლეკულების ძაფების ჩაჭიდებასთან დაკავშირებით, ჰიდროდინამიკაში, კვანძების წარმომქმნელ მდგრად ქარბუქებთან დაკავშირებით, ფერომაგნეტიზმში, მაგნიტური გელების გაკვანძულ ნაკადებთან დაკავშირებით.

ამრიგად, ეს მათემატიკური თეორია ხელს უწყობს ახალი მიმართულებების წარმოშობას არამათემატიკურ მეცნიერებებშიც.

XX საუბუნეში ოთხი ფილდსის პრემია გაიცა კვანძთა თეორიაში გაკეთებული აღმოჩენებისათვის (ვიტენი, ჯონსი, დრინფელდი, კონცევიჩი). კვანძების ამოცნობის პრობლემა ნაწილობრივ არის ამოხსნილი – მისი ალგორითმი არსებობს, მაგრამ საკმაოდ რთულია და კომპიუტერზე არარეალიზებადი (Haken's algorithm, Friedholm Waldhausen)

მათემატიკური თვალსაზრისით, კვანძი წარმოადგენს წრეწირის უწყვეტ ასახვას ეპლიდურ სივრცეში:

$$f: S^1 \rightarrow R^3, \quad S^1 \subset R^2 \quad (1)$$

ისმის ბუნებრივი კითხვა (კვანძთა თეორიის მთავარი საკითხი): როგორ გავიგოთ, ორი კვანძი იზოტოპურია თუ არა? სხვა სიტყვებით რომ ვთქვათ, შეიძლება თუ არა ერთი კვანძის უწყვეტად დეფორმირება სასრული რაოდენობის მოძრაობებით ისე, რომ მივიღოთ მეორე კვანძი. ამ კითხვის კერძო შემთხვევას წარმოადგენს კვანძის ტრივიალურობის დადგენა, ანუ მოცემული კვანძი არის თუ არა ტრივიალურის იზოტოპური (შეიძლება თუ არა კვანძის “გახსნა”)?

სანამ ვეცდებით კვანძების გახსნას, ჯერ წარმოვადგინოთ ისინი თვალსაჩინო ფორმით. ამისათვის ვიყენებთ **ბრტყელ დიაგრამებს** –  $R^3$ -ში მოცემული კვანძის ისეთ გეგმილს  $OXY$  სიბრტყეზე, სადაც შტოების ურთიერთკეთისას “ზემოდან” და “ქვემოდან” კვეთები გათვალისწინებულია. “ზემოდან” ნიშნავს, რომ შტოს შესაბამისი  $Z$  კოორდინატი მეტია, “ქვემოდან” – ნაკლებია.

გაუსის მტკიცებით, ნებისმიერი კვანძი შეიძლება დაგაგეგმილოთ სიბრტყეზე ისე, რომ იგი წარმოდგეს ორი არათვითგადამკვეთო ნაწილის სახით. ეს წარმოდგენა მოგვიანებით რაიდემაისტერმა შეცვალა ე. წ. AFL სახით, ანუ წირის ერთი ნაწილი განიხილა როგორც სწორი ხაზი, ხოლო მეორე – მასზე დახვეული ძაფი, შემდეგ ეს სწორი ხაზი ასწია  $R^3$ -ში ისე, რომ მას შეექმნა თაღები (ARCADE), როგორც სიბრტყის “ზედა” და “ქვედა” ზედაპირების ალტერნატივა, ხოლო ძაფი (FADEN) დატოვა სიბრტყეზე, როგორც ამ თაღებს შორის გამავალი. ამ წარმოდგენას ეწოდება ARCADE FADEN LAGEN - AFL

ამ იდეაზე დაყრდნობით, ჰოტცმა დაამტკიცა, რომ ყოველი კვანძი წარმოქმნის მოცემულ ანბანზე მინიმალური სიტყვების უნიკალურ სიმრავლეს (კვანძის ყოველი AFL წარმოდგენისათვის არსებობს ერთადერთი მინიმალური სიტყვა). რადგანაც ერთი კვანძისთვის შეიძლება არსებობდეს განსხვავებული AFL წარმოდგენები, ყოველი კვანძი წარმოქმნის მინიმალური სიტყვების უნიკალურ სიმრავლეს. თუ ორი  $K_1$  და  $K_2$  კვანძი წარმოქმნის მინიმალური სიტყვების ორ  $S_1$  და  $S_2$  სიმრავლეს, მაშინ  $K_1$  და  $K_2$  კვანძები ერთმანეთის ექვივალენტურია მაშინ და მხოლოდ მაშინ, თუ  $S_1$  და  $S_2$  სიმრავლეებს გააჩნიათ საერთო მინიმალური სიტყვა (საერთო AFL წარმოდგენა).

მოგვიანებით, 1990-იანებში, ვასილიევმა შემოიღო ცნება – კვანძების ჰოლონომური პარამეტრიზაცია პერიოდული  $f$  ფუნქციის მეშვეობით, სადაც ასახვა  $f^\sim = (-f(t), f'(t), -f''(t))$  იძლევა კვანძის პარამეტრიზაციას დეკარტის კოორდინატებში. მან აჩვენა, რომ ყოველი  $K$  კვანძისათვის არსებობს მისი ექვივალენტური  $K'$  კვანძი ჰოლონომური პარამეტრიზაციით. უფრო ზუსტად, მან დაამტკიცა, რომ კვანძთა ყოველ კლასს (კვანძთა ტოპოლოგიურად იზოტოპურ კლასს) გააჩნია ჰოლონომური წარმოდგენა და აგრეთვე არსებობს ნატურალური იზომორფიზმი ტოპოლოგიური კვანძების სასრული ტიპის ინვარიანტებიდან ჰოლონომური კვანძების სასრული ტიპის ინვარიანტებში.

ბირმანმა და ვრინკლემ დაამტკიცეს, რომ ორი ჰოლონომური კვანძი, რომელიც ტოპოლოგიურად იზოტოპურია, სინამდვილეში ჰოლონომურადაც იზოტოპურია. კომბინატორული თვალსაზრისით ეს ნიშავს, რომ ჰოლონომური კვანძების ჰოლონომური იზოტოპით კლასიფიკაცია ამ კვანძების დიაგრამების იზოტოპით კლასიფიკაციის იდენტურია. (კვანძის დიაგრამის იზოტოპია განიხილება, როგორც ბრტყელი იზოტოპიებისა და რაიდემაისტერის მოძრაობების მიმდევრობა).

წინამდებარე ნაშრომში განხილულია კვანძის AFL სახით წარმოდგენის ჰოლონომურ სახეზე გადაყვანის ალგორითმი, წარმოდგენილია ჰოლონომური წირის აღწერის იდეა – რკალების სათითაოდ მოცემა კონკრეტული მარტივი ფუნქციით და მთლიანი კვანძის აღწერა ამ ფუნქციების ინტერპოლაციის გზით, განხილულია აღმწერი ფუნქციის თვისებები და მოცემულია ფუნქციის კონკრეტული სახე. ყოველივე ამის საფუძველზე მუშავდება პროგრამული პაკეტი.

## ამოცანის დასმა

როგორც უკვე აღვნიშნეთ, ყოველი კგანძი წარმოქმნის მინიმალური სიტყვების უნიკალურ სიმრავლეს მოცემულ ანბანზე. ჩვენი მიზანია, მოცემული AFL წარმოდგენის შესაბამისი სიტყვა გარდავქმნათ ისე, რომ მიღებული სიტყვა შეესაბამებოდეს კვანძის პოლონომურ სახეს და მოვახდინოთ შესაბამისი წირის პოლონომური პარამეტრიზაცია, რაც ნიშნავს შემდეგს:

ვთქვათ,  $f: [0, 2\pi) \rightarrow R \in C^\infty$  არის  $C^\infty$  კლასის  $2\pi$ -პერიოდული ფუნქცია.  $S^1 \subset R^3$  არის წრეწირი სამგანზომილებიან სივრცეში.  $f$  ფუნქცია განსაზღვრავს  $f^\sim: S^1 \rightarrow R^3$  სახვას შემდეგნაირად:

$$f^\sim = (-f(t), f'(t), -f''(t)) \quad (2)$$

თუ  $f$  ფუნქცია ისეა შერჩეული, რომ:

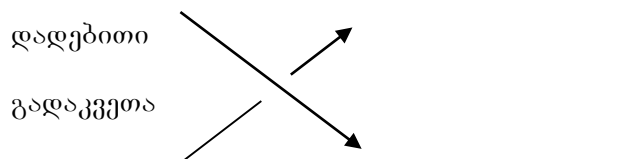
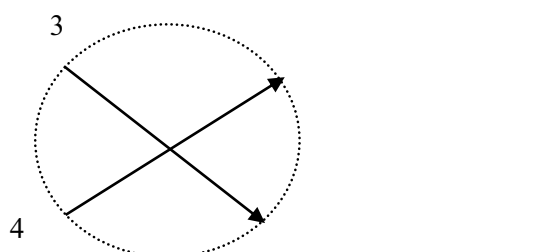
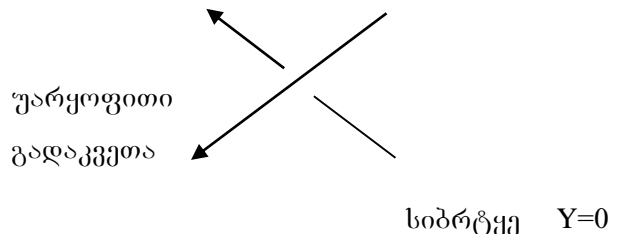
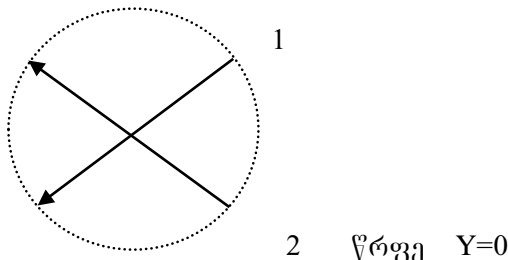
$$1. \exists t_1, t_2 \in [0, T), t_1 \neq t_2, (-f(t_1), f'(t_1), -f''(t_1)) = (-f(t_2), f'(t_2), -f''(t_2)). \quad (3)$$

$$2. \text{თუ } (-f(t_1), f'(t_1)) = (-f(t_2), f'(t_2)) \Rightarrow f'(t_1) \neq 0 \text{ ამიტოւ } f'(t_1) \neq 0. \quad (4)$$

$$3. \exists t_1, t_2, t_3 \in [0, T), t_1 \neq t_2 \neq t_3, |(-f(t_1), f'(t_1)) = (-f(t_2), f'(t_2)) = (-f(t_3), f'(t_3)) \quad (5)$$

იტყვიან, რომ წირი აღწერილია პოლონომურად.

ამ თვისებებიდან გამომდინარეობს, რომ პოლონომური წირი ორიენტირებულია საათის ისრის მოძრაობის საწინააღმდეგოდ, ერთ წერტილში არ იკვეთება წირის სამი ან მეტი შტო, ხოლო წირის გადაკვეთები  $Y > 0$  ნახვარსიბრტყებები არის უარყოფითი,  $Y < 0$  ნახვარსიბრტყებები – დადებითი.



1 (ა)

1 (ბ)

**ნახ. 1.** გადაკვეთის ნიშის განსაზღვრა: (ა) ნახაზი გვიჩვენებს პროექტირებულ სახეებს  $X$  ხიბრტყებებ, (ბ) ნახაზე ისინი მოცემულია პგანზომილებიან სივრცეში.

AFL სიტყვა ჩაწერილია გარკვეულ ანბანზე, კერძოდ, იგი წარმოადგენს  $n$  ცალი  $C_i^e$  სახის სიმბოლოთა მიმდევრობას, სადაც  $C \in \{S, T\}$ ,  $e \in \{+1, -1\}$ ,  $i=1 \dots n$ .  $S$  ნიშნავს, რომ წირის შტო გადადის სხვა შტოს ზემოდან,  $T$  – გადადის ქვემოდან,  $+1$  – წირის შტო აღმავალია,  $-1$  – წირის შტო დაღმავალი,  $i$  არის წირის გასწვრივ კვეთის რიგითი ნომერი. ამ პრინციპით, სამყურა ჩაიწერება შემდეგნაირად:  $T_1^{-1}S_2^{+1}T_3^{-1}$ . რაც შეეხება პოლონომური კვანძის ჩანაწერს, მის შესაბამის სიტყვაში უნდა იყოს მხოლოდ  $S_i^{-1}$  და  $T_i^{+1}$  სიმბოლოები, ანუ გვაქვს ამოცანა:

*Input:  $\{C_i^e | C = S, T, e = +1, -1, i = 1 \dots m\}$*  (6)

*Output:  $\{C_i | C = S^{-1}, T^{+1}, i = 1 \dots n\}$*  (7)

სიმარტივისათვის პოლონომურად აღწერილ კვანძში შეიძლება  $S^{-1}$   $S$ -თან და  $T^{+1}$   $T$ -სთან გავაიგივოთ და გვექნება შემდეგი ჩანაწერი:

*Output:  $\{C_i | C = S, T, i = 1 \dots n\}$*  (8)

მიღებული სიტყვის შესაბამისი მონაცემთა სტრუქტურა არის კვანძების მასივი (ან ბმული სია), სადაც ყოველი კვანძი შეგვიძლია ცალკე ქლასის (სტრუქტურის) სახით განვიხილოთ:

```
class node = {           int i,   i=0,...n-1,
                      int j,   j=0,...n-1,
                      char c, c=S, T
}
```

 (9)

თავდაპირველ AFL წირში შეიძლება იყოს არაპოლონომური გადასვლები (საათის ისრის მოძრაობის საწინააღმდეგო) და/ან კვეთები ( $Y > 0$  ნახევარსიბრტყებე – უარყოფითი,  $Y < 0$  ნახევარსიბრტყებე – დადებითი). [1] სტატიაში განხილული ალგორითმის შესაბამისად საწყის კვანძში ჯერ გარდავქმნით არაპოლონომურ გადასვლებს, შემდეგ კი – არაპოლონომურ კვეთებს. თუ არაპოლონომური მხოლოდ გადასვლებია, მაშინ მხოლოდ FADEN ნაწილის გარდაქმნა იქნება საჭირო, თუ არაპოლონომური კვეთებიც გვაქვს, მაშინ გარდაიქმნება ARCADE ნაწილიც.

i არის სიტყვის მარცხნიდან მარჯვნივ წაკითხვისას კვეთის რიგითი ნომერი (S/T სიმბოლოსი)

j არის სიტყვაში კვეთაზე გადასვლის რიგი.

მაგალითად, სამყურას ჩანაწერში:

*Input =  $S_0^{-1}T_1^{+1}S_2^{-1}$*

*Output =  $S_5 S_1 S_3 T_2 T_0 T_4$*

*i = {0,1,2,3,4,5}*

*j = {5,1,3,2,0,4}*

ეს ჩანაწერი შეესაბამება კვეთების (FADEN და ARCADE ნაწილების) ნუმერაციას, წირის ერთგვარ აბსტრაქციას. *AFL → Holonomic* ალგორითმი ადგენს წირის ასეთ აბსტრაქტულ ჩანაწერს და იგი ასახავს წირის კვეთების მიმდევრობას, რაც მთლიანად აღწერს წირს. წირის ფუნქციის მეშვეობით აღწერისათვის საჭიროა კოორდინატების შესაბამება, რასაც მოგვიანებით შევეხებით.

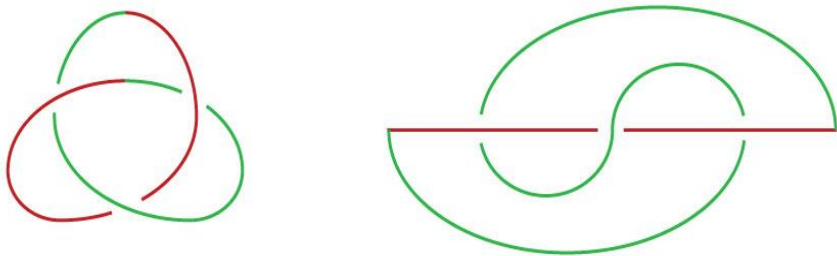
ვთქვათ, თავდაპირველ AFL წირში გვაქვს არაპოლონომური კვეთებიც. კ არის FADEN-ის გარდაქმნის შედეგად დარჩენილი არაპოლონომური კვეთების რაოდენობა, რომლებიც ARCADE-ს გარდაქმნით პოლონომურდება და მიიღება  $2k+1$  ცალი რკალი, ამიტომ Output სიტყვაში კვეთები (რკალები) შეგვიძლია დაგენერიროს შემდეგნაირად:

$j=0, \dots n-1-(2k+1)$  - FADEN

$j=n-1-2k, \dots n-1$  - ARCADE

## AFL წირების გარდაქმნა ჰოლონომურ სახეზე ( $AFL \rightarrow Holonomic$ ალგორითმი)

როგორც უკვე ვთქვით, AFL სიტყვა ჩაწერილია გარკვეულ ანბანზე, კერძოდ, იგი წარმოადგენს  $n$  ცალი  $C_i^e$  სახის სიმბოლოთა მიმდევრობას, სადაც  $C \in \{S, T\}$ ,  $e \in \{+1, -1\}$ ,  $i=1..n$ . სადაც  $S$  ნიშნავს, რომ წირის შტო გადადის სხვა შტოს ზემოდან,  $T$  – გადადის ქვემოდან,  $+1$  – წირის შტო აღმაგალია,  $-1$  – წირის შტო დაღმაგალი,  $i$  არის წირის გასწრივ აგეთის რიგითი ნომერი. ამ პრინციპით, სამყურა ჩაიწერება შემდეგნაირად:  $T_1^{-1}S_2^{+1}T_3^{-1}$



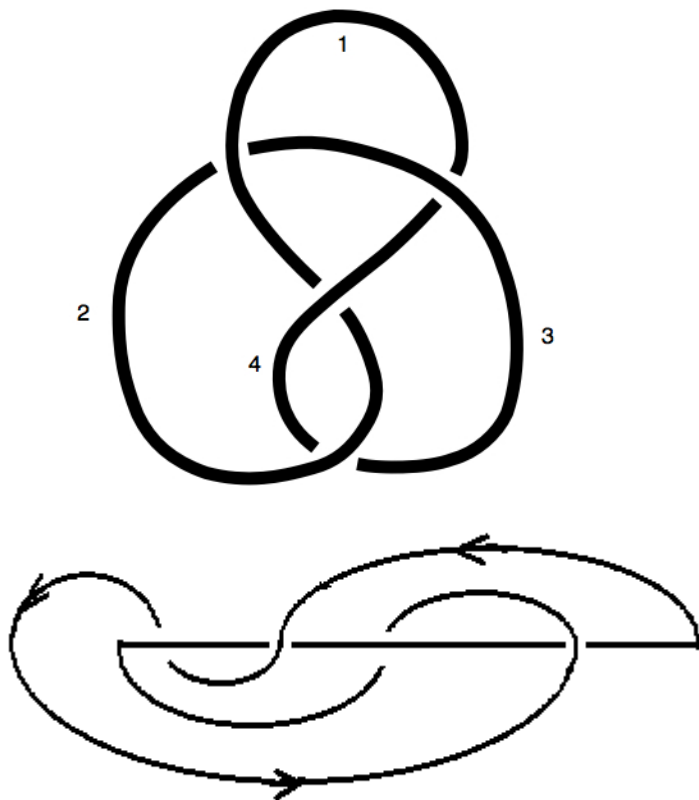
ნახ. 2. სამყურა და მიხვ AFL წარმოდგენა

ვასილიევის მიერ დამტკიცებული თეორემის შესაბამისად, ყოველი  $K$  კვანტს შეესაბამება მისი იზოტოპური  $K'$  კვანტი, ჰოლონომური პარამეტრიზაციით. ასევე, ორი ჰოლონომური კვანტი, რომლებიც ტოპოლოგიურად იზოტოპურია, არის ჰოლონომურად იზოტოპურიც, რაც იმას ნიშნავს, რომ ჰოლონომური კვანტების ჰოლონომური იზოტოპია მათი დიაგრამების იზოტოპური კლასიფიკაციის იდენტურია (კვანტების დიაგრამების იზოტოპია განისაზღვრება, როგორც პლანარული იზოტოპიებისა და რაიდემაისტერის მოძრაობების სასრული მიმდევრობა).

გაუსისა და რაიდემაისტერის შრომების თანახმად, ნებისმიერი ჩაკეტილი წირი შეიძლება, წარმოდგენილ იქნეს ორი არათვითგადამკვეთი ნაწილის გაერთიანების სახით. ამ ნაწილებიდან ერთ-ერთს თუ განვიხილავთ თაღის სახით (ARCADE), მეორე შეიძლება წარმოვადგინოთ, როგორც მასზე დახვეული ძაფი (FADEN). FADEN ნაწილის მოძრაობის ორიენტაცია განისაზღვრავს ზოგადად AFL-ის ორიენტაციას. თუ FADEN წირი ( $t$ -ს ზრდასთან ერთად) მუდმივად საათის ისრის მოძრაობის საწინააღმდეგოდ მოძრაობს, შესაბამისად, ARCADE ნაწილიც  $t$ -ს ზრდასთან ერთად) მუდმივად საათის ისრის მოძრაობის საწინააღმდეგოდ იქნება მიმართული და წირი მთლიანად აკმაყოფილებს ჰოლონომურობის ერთ-ერთ თვისებას. ამ წარმოდგენაში FADEN (არათვითგადამკვეთი) კვეთს ARCADE-ს რაღაც წერტილებში, რომლებსაც ვიყენებთ AFL სიტყვის ჩასაწერად.

AFL ჩანაწერში კვეთების მიმდევრობა შეიძლება ისეთი იყოს, რომ  $i$  წერტილიდან  $i+1$  წერტილზე პირდაპირ გადასვლა FADEN-ის თვითგადაკვეთას იწვევდეს, ამ შემთხვევაში FADEN

აკეთებს ზედმეტ რკალს, რომელიც ცდება ARCADE-ს, რათა თვითგვეთა იქნას თავიდან აცილებული.



ნახ. 3. რვიანი კვანძი და მიხო AFL წარმოდგენა

ბირმანისა და ვრინკლეს მიერ ნაჩვენები იქნა, რომ ორი პოლონომური კვანძი, რომელიც ტოპოლოგიურად იზოტოპურია, პოლონომურადაც იზოტოპურია. ეს ნიშნავს, რომ პოლონომური კვანძების პოლონომური კლასიფიკაცია იდენტურია ამ კვანძების დიაგრამების იზოტოპური კლასიფიკაციის. ამდენად, მხოლოდ პოლონომური კვანძების განხილვა იძლევა წირების ფართო კლასის ნაცვლად გაცილებით გირზო კლასის განხილვის საშუალებას.

განვიხილოთ შემომავალი AFL სიტყვა. თუ AFL-ში უკელა გადასვლა და კვეთა იქნება პოლონომური, იგი შეესაბამისება ტრივიალურ კვანძს ანუ წრეწირს, ამიტომ აპრიორი ჩავთვალოთ, რომ AFL-ში აუცილებლად არსებობს არაპოლონომური გადასვლები ან/და არაპოლონომური კვეთები. მის პოლონომურად გადასაქცევად ვიქცევით შემდეგნაირად:

1. თავიდან პირობითად ვუშვებთ, რომ ARCADE არის სწორი ხაზი, რომელიც დევს აბსცისთა დერძზე. ამ პირობას გიყენებთ FADEN-ის შედარებით ადგილად გარდასაჭმნელად.

2. ვამატებთ “კიდურა” კვანძებს, ანუ იმ წერტილებს, სადაც FADEN გადადის ARCADE-ში. თუ AFL ჩანაწერში კვანძები ისეა განლაგებული, რომ “კიდურა” კვანძების ჩამატების შემთხვევაში FADEN თვითგადამკვეთი გამოდის, AFL-ის კონსტრუირებისათვის ვიქცევით შემდეგნაირად: რკალში, რომელიც გადაკვეთს მასზე ადრე გავლებულ რკალს, საწყისი  $i$  წერტილის შემდეგ

ვამატებთ ARCADE-ს გარეთ ახალ წერტილს იმის გათვალისწინებით, თუ რომელ მხარესაა AFL-ის საბოლოო წერტილი –  $i$ -ს მარცხნივ თუ მარჯვნივ, და აქედან გადავდივართ რკალის საბოლოო  $i+1$  წერტილზე, რომელიც გადაინომრება და გახდება  $i+2$ . შესაბამისად გადაინომრება მომდევნო წერტილებიც. ( $O(n)$ ).

3. ვადგენთ არაპოლონომური გადასვლების მქონე რკალების (ARCADE-ს ზემოთ მარჯვნივ მიმართული, ARCADE-ს ქვემოთ მარცხნივ მიმართული) არსებობას. თუ ასეთი არ არის, გადავდივართ კვეთების პოლონომურობის შემოწმებაზე (პ. 6) ( $O(n)$ ).

4. პოლონომური გადასვლების გარდასაქმნელად ვიქცევით შემდეგნაირად :

ა. თუ შემოსულ სიტყვაში არაპოლონომური გადასვლა რაიდემაისტერის პირველი მოძრაობის შესაბამისია, მას იქვე გადავანაცვლებთ: ( $O(n)$ ).

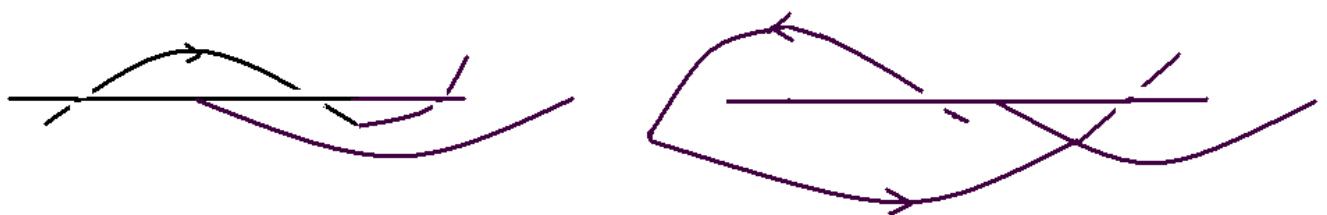


ა

ბ

ნახ. 4ა, 4ბ. რაიდემაისტერის I მოძრაობა

ბ. თუ რომელიმე კვანძის შესაბამისი კვეთაც და გადასვლაც არაპოლონომურია, ეს კვანძი შეგვიძლია “გავიტანოთ” ARCADE-ს გარეთ პოლონომურობის გათვალისწინებით (შესაბამისად მარცხნივ ან მარჯვნივ). ( $O(n)$ ).



ნახ. 5. ერთდროულად არაპოლონომური გადასვლისა და კვეთის გარდაქმნა

გ. დანარჩენი არაპოლონომური გადასვლების პოლონომურად გარდასაქმნელად გამოვყოფთ ცალ-ცალკე მარჯვნივ და მარცხნივ გადასვლებს. ვიწყებთ უკიდურესად მარჯვნივ მდებარე საბოლოო წერტილის მქონე რკალით, რკალის დასაწყისიდან გადავდივართ მარცხნივ, ვამატებთ ახალ ( $S^{-1}$ ) წერტილს ARCADE-ს გარეთ (ვაგრძელებთ წარმოსახვით ხაზს), ვკვეთოთ

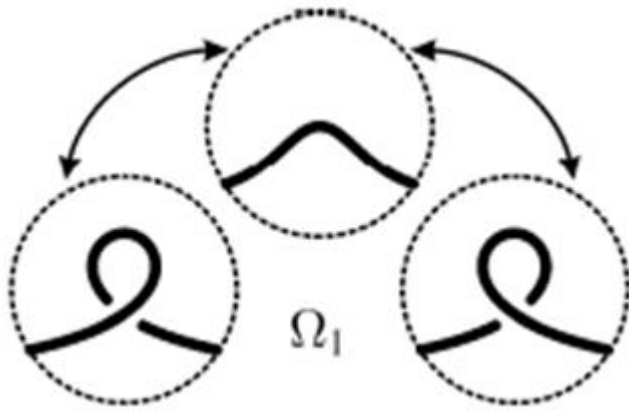
და “ვუხვევთ” მარჯვნივ, გამატებთ რკალის საბოლოო წერტილის უშუალოდ გვერდით მარჯვნივ ახალ  $T^{+1}$  წერტილს და გადავდივართ თავდაპირველი რკალის საბოლოო წერტილში ( $\downarrow$ ). ასე ვიქცევით ყველა არაჰოლონომური მარჯვნივ გადასვლის გასაჰოლონომურებლად. (O(n)).

დ. ანალოგიურად ვიქცევით არაჰოლონომური მარცხნივ გადასვლების შემთხვევაშიც: ვიწყებთ უკიდურესად მარცხნივ მდებარე საბოლოო წერტილის მქონე რკალით, რკალის დასაწყისიდან გადავდივართ მარჯვნივ, ვამატებთ ახალ ( $T^{+1}$ ) წერტილს ARCADE-ს გარეთ (ვაგრძელებთ წარმოსახვით ხაზს), ვკვეთ და “ვუხვევთ” მარცხნივ, ვამატებთ რკალის საბოლოო წერტილის უშუალოდ გვერდით მარცხნივ ახალ  $S^{-1}$  წერტილს და გადავდივართ თავდაპირველი რკალის საბოლოო წერტილში ( $\uparrow$ ). ასე ვიქცევით ყველა არაჰოლონომური მარცხნივ გადასვლის გასაჰოლონომურებლად. (O(n)).

ე. მთლიანობაში AFL-ს შეიძლება დააკლდეს ერთი ან რამდენიმე კვეთა, მაგრამ დაემატება FADEN-ის თვითგადამკვეთი ერთი ან რამდენიმე კვეთა, თუმცა ეს გადასვლები შეესაბამება რაიდემაისტერის მოძრაობებს და არ არღვევს თავდაპირველი AFL-ის ტოპოლოგიას.

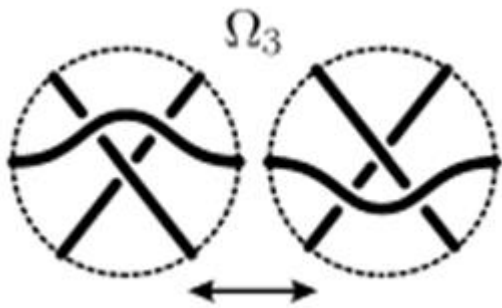
5. მე-4 პუნქტში აღწერილი გარდაქმნების შემდეგ ვამოწმებთ, ხომ არ გაჩნდა “ზედმეტი” რკალები, ანუ ისეთი, რომლებიც ARCADE-ს არ კვეთს და მუდმივად ერთ-ერთ ნახევარსიბრტყელია განლაგებული. ასეთი ნაწილების მოსაშორებლად ვამოწმებთ შემდეგ პირობებს:

ა. ვეძებთ გვერდიგვერდ განლაგებულ ერთნაირი კვეთის (S ან T) მქონე რკალებს და “ვხსნით” (რაიდემაისტერის პირველი მოძრაობა, ნახ. 6); (O(n)).



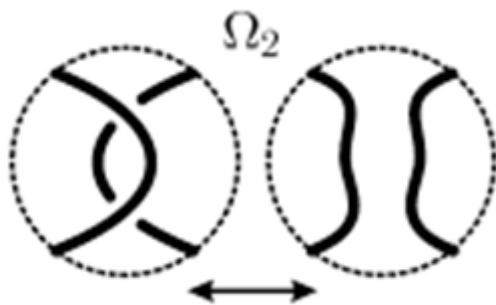
ნახ. 6. რაიდემაისტერის პირველი მოძრაობა

ბ. ვეძებთ ისეთ რკალებს, რომლის ორივე ბოლო ARCADE-ს გარეთაა და “ვხსნით” (რაიდემაისტერის მესამე მოძრაობა, ნახ. 7); (O(n)).



ნახ. 7. რაიდემაისტერის მესამე მოძრაობა

გ. ვერტიკალურ ისეთ რკალებს, რომლის ერთ-ერთი ბოლო ARCADE-ს გარეთაა და მთლიანად რკალი არ კვეთს სხვა რკალებს და “ვხსნით” (რაიდემაისტერის მეორე მოძრაობა, ნახ. 8); (O(n)).



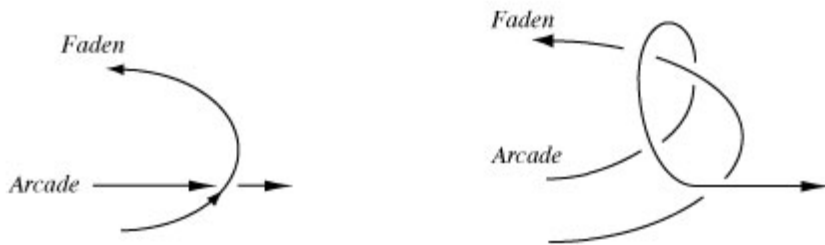
ნახ. 8. რაიდემაისტერის მეორე მოძრაობა

დ. ა, ბ, გ პუნქტებს ვიმეორებთ მანამ, სანამ არ აღმოვფხვრით ასეთ “ზედმეტ” რკალებს.

6. მე-4, მე-5 პუნქტები ასრულებს FADEN ნაწილის მთლიან გარდაქმნას. თუ მიღებულ ჩანაწერში არ დარჩება არაპოლონომური კვეთები, ARCADE ნაწილს, რომელიც თავიდან ჩავთვალეთ აბსცისათა დერძის თანხვდენილად, ვცვლით მცირე სიმაღლის რკალით, ხოლო თუ მიღებულ ჩანაწერში ისევ დარჩება არაპოლონომური კვეთები, საჭირო ხდება ARCADE-ს გარდაქმნა. ვადგენთ, პოლონომურ გადასვლაზე არაპოლონომური კვეთების რაოდენობას და AFL წარმოდგენაში ARCADE -ს ვამატებთ იმდენივე სვიას, ანუ, თუ წირის ჩანაწერში არის  $k$  ცალი რკალი, რომელთა შესაბამისი გადასვლა პოლონომურია და კვეთა – არაპოლონომური, წირს ARCADE ნაწილში უნდა დაემატოს  $2k$  ცალი რკალი. (ნახ. 9ა, 9ბ).



ნახ. 9ა



ნახ. 9ბ

ნახ. 9ა, 9ბ. ARCADE-ს დახვევა არაპოლონომური კვეთების გარდასაქმნელად

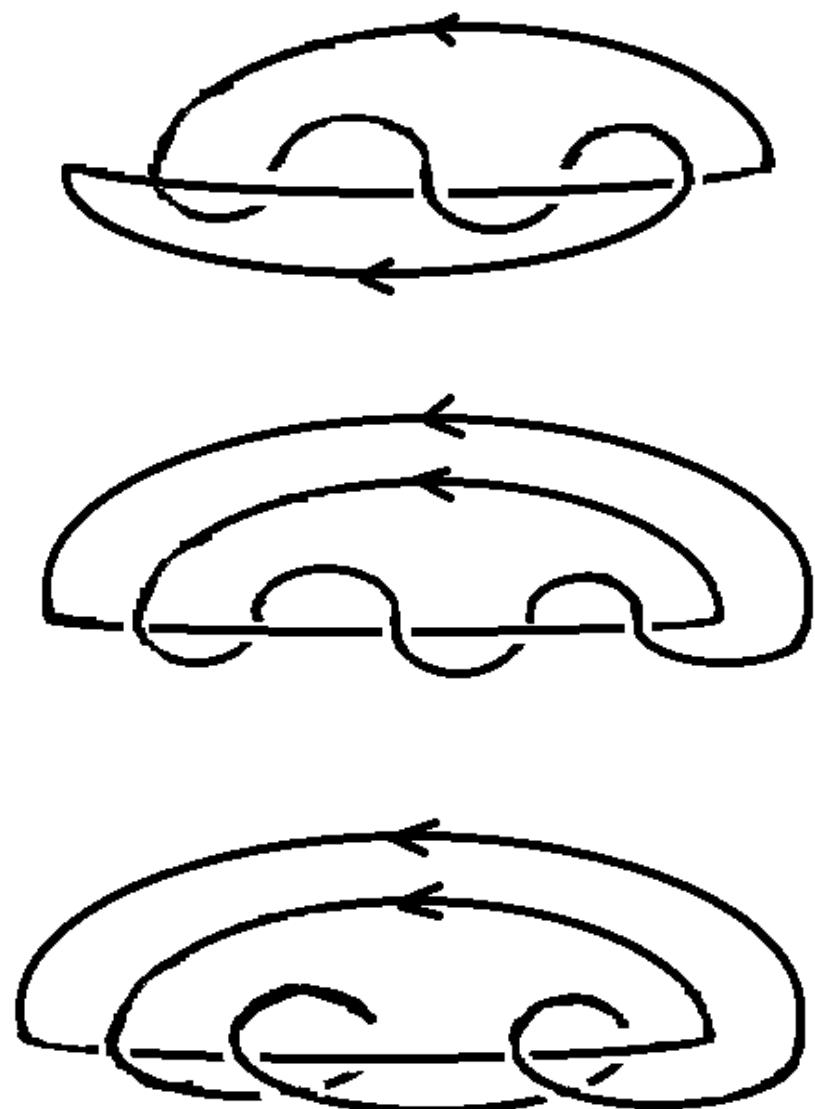
არაპოლონომურ კვეთასთან ARCADE-ს ვახვევთ რაიდემაისტერის მეორე მოძრაობის შესაბამისად ისე, რომ ერთი კვეთის ნაცვლად წარმოიქმნება ოთხი კვეთი. ორი ახალი წერტილი დაემატება არაპოლონომური კვეთის მარჯვივ (( $T^{-1}$  შემთხვევაში) ან მარცხნივ (( $S^{+1}$  შემთხვევაში)). აქაც ARCADE ნაწილის სწორხაზოვან არებს ვცვლით მცირე სიმაღლის რკალებით. ( $O(n)$ ).

ეს ალგორითმი ასრულებს AFL-ის პოლონომურად გარდაქმნას. აქ უკვე შეგვიძლია ARCADE წარმოვიდგინოთ (ისევ ტოპოლოგიის დაურღვევლად) როგორც რკალი, რომლის სიმაღლე ნაკლებია FADEN-ის ყველა რკალის სიმაღლეზე (როდესაც თავდაპირველ AFL-ში არ არის არაპოლონომური კვეთები), გარდა იმ წერტილების მიდამოსი, სადაც დაგვჭირდა თვითონ ARCADE-ს დახვევა არაპოლონომური კვეთის “გასახსნელად”.

მიღებული წირისთვის ვადგენთ ფუნქციას ისე, რომ  $(-f(t), f'(t), -f''(t))$  შეესაბამებოდეს წირის პარამეტრულ  $(X, Y, Z)$  აღწერას.

ალგორითმის კერძო შემთხვევად შეგვიძლია განვიხილოთ  $(2, q)$  ტორული ტიპის კვანძები ( $q=2*k+1$ ), რომლის ზოგადი AFL ჩანაწერი იქნება  $S_0^{-1}(T_i^{+1}S_{i+1}^{-1})$ ,  $i=1 \dots (q-1)/2$ , (მაგალითად სამყურა  $S_0^{-1}T_1^{+1}S_2^{-1}$ ). მისი გარდაქმნა დასრულდება 5ა პუნქტით, რადგანაც ჩანაწერი, დაწყებული

$T_1^{+1}$ -დან შედგება მხოლოდ რაიდემაისტერის მეორე მოძრაობის შესაბამისი არაჰოლონომური გადასვლებისაგან.



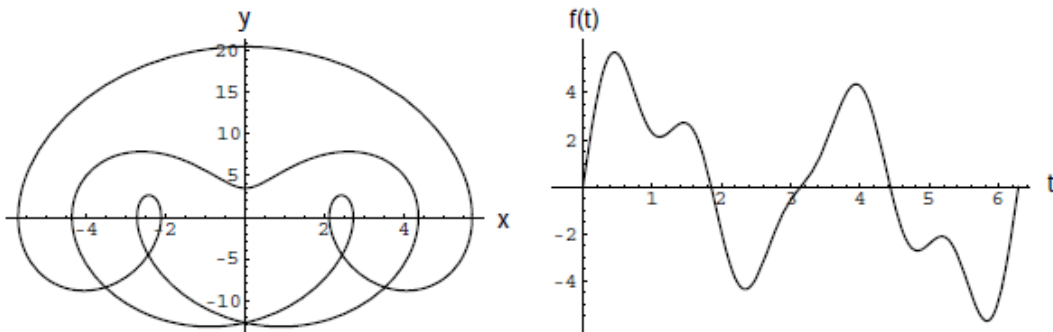
ნახ. 10. (2,5) ორის გარდაქმნა პოლონომურ სახეზე

## პარამეტრიზაციის ფუნქციის თვისებები და წონის ფუნქცია

პოლონომური წირის აღწერისათვის ვეძებთ ისეთ პერიოდულ  $f$  ფუნქციას, რომ ასახვა  $(-f(t), f'(t), -f''(t))$  შეესაბამებოდეს წირის პარამეტრულ  $(X, Y, Z)$  აღწერას.

აღსანიშნავია, რომ დადებითი სამყურასთვის შედგენილია პოლონომური პარამეტრიზაციის ფუნქცია (ჯონ ბუეტი, მაიკლ კინნალი, ფელიქს ტუბიანა):

$$f(t) = \sin t + 4 * \sin 2 * t + \sin 4 * t \quad (10)$$



ნახ. 11. ფუნქცია  $f(t) = \sin t + 4 * \sin 2 * t + \sin 4 * t$  განსაზღვრავს დადებით სამყურას.

როგორც ვხედავთ,  $f(t)$ -ს შესაბამისი გრაფიკი ხერხისებურია. ავტორებმა შეძლეს ამ მაგალითის გავრცობა  $(2, q)$  ტორული კვანძებისთვის, გარკვეული ხერხისებური ფუნქციების ფურიეს წაკვეთილი მიახლოებით. თუმცა მათი ეს კერძო შედეგი საკმაოდ ჩახლართულია აღსაწერად და ამასთანავე, არ არის დამტკიცებული, რომ ეს მეთოდი მუშაობს ყველა  $q$ -თვის.

ჩვენს შემთხვევაში განვიხილავთ სხვანაირ მიდგომას. რადგანაც ფუნქცია აღწერს მთლიან წირს  $[0, 2\pi]$  შეალებზე, ცხადია, წირის ყოველ რკალს ამ შეალებიდან რაღაც მონაკვეთი შეესაბამება. ვთქვათ, წირში არის  $n$  ცალი რკალი (თითოეული რკალი შეესაბამება წირის ორ მომდევნო კვეთას შორის არსებულ გადასვლას).  $[0, 2\pi]$  შეალებს ვყოფთ  $n$  ცალ მონაკვეთად, დაყოფის წერტილები აღვნიშნოთ  $t_i$ -თი,  $i = 1..n$ ,  $0 \leq t_0 < t_1 < t_2 < \dots < t_i < \dots < t_{n-1} < t_n \leq 2\pi$  და თითოეულ  $i$ -ურ მონაკვეთზე რკალს აღვწერთ რადაც  $f_i$  მარტივი ტრიგონომეტრიული ფუნქციის მეშვეობით<sup>1</sup>.

**თეორემა 1.** პოლონომური წირი პოლონომურად აღიწერება, როგორც ამ წირის ცალკეული რკალების აღწერი  $f_i$  მარტივი ტრიგონომეტრიული ფუნქციების კომბინაცია

$$f = \sum_{i=1}^{i=n} f_i * \text{coef}_i \quad (11)$$

<sup>1</sup>  $[0, 2\pi]$  შეალების დაყოფის წესს მოგვიანებით აღვწერთ.

სადაც  $coeff_i$  კოეფიციენტები არის პერიოდული, უბან-უბან მუდმივი წონის ფუნქცია ისე, რომ თითოეული რკალისთვის სრულდება ტოლობები:

$$f(t) = f_i(t), \quad f'(t) = f'_i(t), \quad f''(t) = f''_i(t), \quad \forall i = 1..n \quad (12)$$

ჩვენ უნდა ვაჩვენოთ, რომ ასე შერჩეული ფუნქცია აქმაყოფილებს პოლონომურობის სამ თვისებას.  $AFL \rightarrow Holonomic$  ალგორითმიდან გამომდინარე, ჩვენ რკალები ისე განვალაგოთ, რომ რკალების გადაკვეთის წერტილები დაშორებულია  $X$  დერძიდან. ეს ავტომატურად იწვევს მე-2 პირობის შესრულებას. რაც შეეხება 1-ელ და მე-3 პირობებს, ეს დამოკიდებულია თავად ფუნქციების შერჩევაზე.

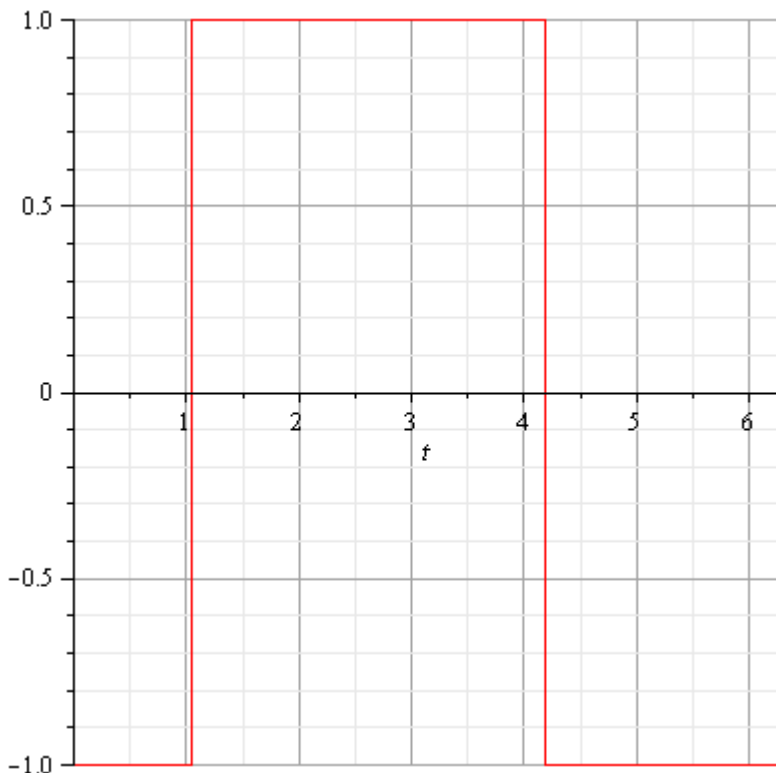
### ჯერ განვიხილოთ

**ლემა 1.** (1) ფორმულაში კოეფიციენტებად შეგვიძლია გამოვიყენოთ მოდიფიცირებული კვადრატული ტალღების ნამრავლი.

დამტკიცება: განვიხილოთ ზოგადი კვადრატული ტალღის გამოსახულება

$$S_{A,T} = A * (-1)^{\left\lceil \frac{2*(t-t_*)}{T} \right\rceil} \quad (13)$$

სადაც  $A$  ტალღის ამპლიტუდაა,  $T$  არის პერიოდის სიგრძე, ჩვენს შემთხვევაში  $T = 2\pi$   $t_* \in [0, 2\pi]$ . მისი გრაფიკი მოცემულია ნახ. 12.-ზე:



ნახ. 12. ზოგადი კვადრატული ტალღის გრაფიკი

ფუნქციის მნიშვნელობებია  $A$  და  $-A$  ზესტად პერიოდის ნახევარ სიგრძეზე, კერძოდ,

თუ:

$$0 \leq t_* < \frac{T}{2}, \quad S_{A,T} = -A, \quad \forall t \in [0, t_*] \cup \left[ t_*, t_* + \frac{T}{2} \right],$$

$$S_{A,T} = A, \quad \forall t \in \left[ t_*, t_* + \frac{T}{2} \right] \quad (14)$$

და

$$T/2 \leq t_* < T, \quad S_{A,T} = A, \quad \forall t \in [0, t_* - T/2] \cup [t_*, T],$$

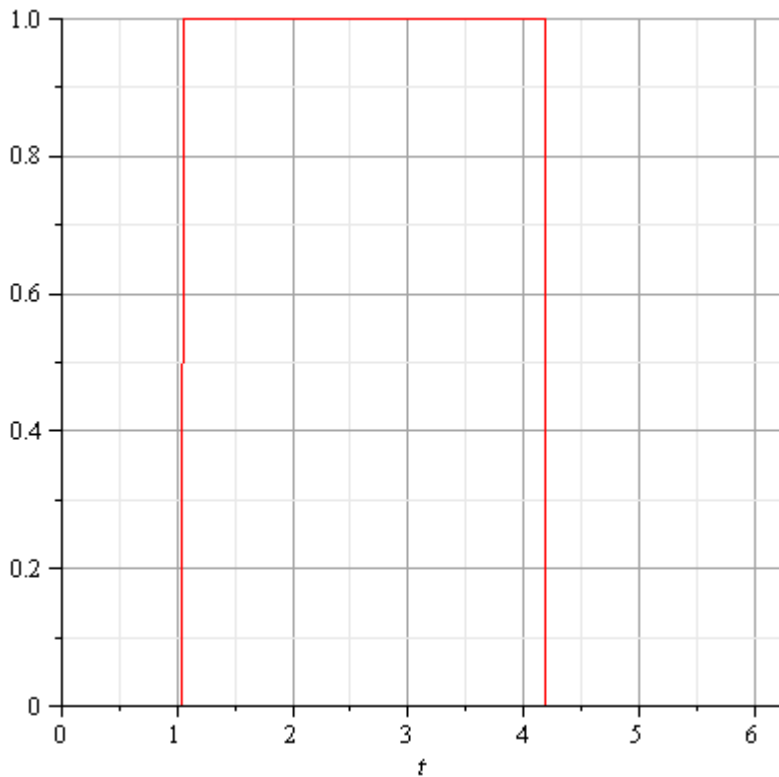
$$S_{A,T} = -A, \quad \forall t \in [t_* - T/2, T] \quad (15)$$

ჩვენ გვჭირდება ზოგადი გამოსახულების მოდიფიკაცია შემდეგი სახით:

$$\frac{1}{2} * (1 + (-1)^{\left\lfloor \frac{2*(t-t_i)}{T} \right\rfloor}) \quad (16)$$

სადაც  $t_i$  – პერიოდის დაყოფის წერტილებია,  $i = 1..n$ ,  $A = 1$ ,  $T = 2\pi$ .

ამ გამოსახულების მნიშვნელობებია 1 და 0 (4), (5) წესების შესაბამისად. (ნახ. 13.)



ნახ. 13. მოდიფირებული კვადრატული ტალღის გრაფიკი

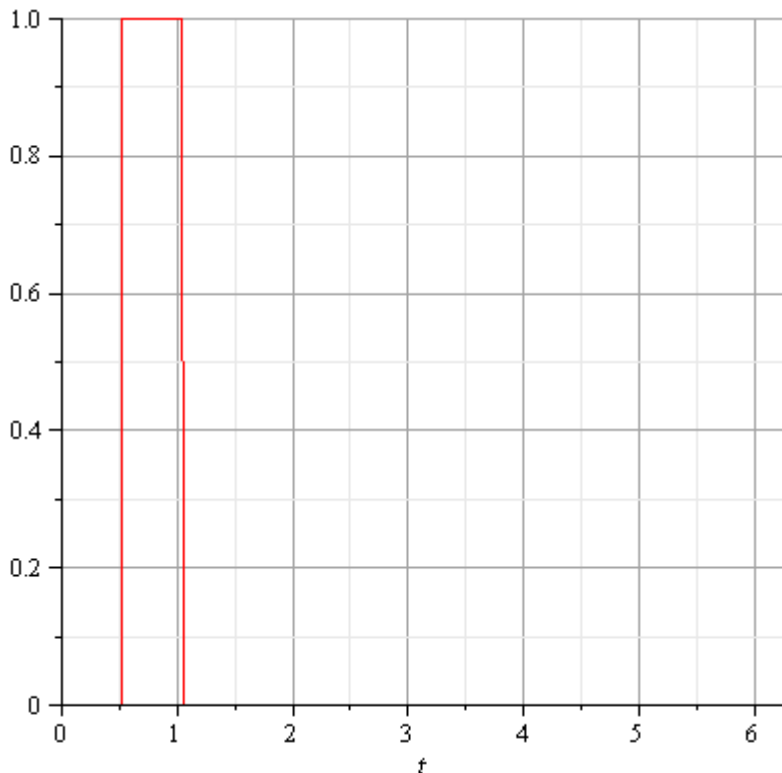
როგორც უკვე ვთქვით, კვადრატული ტალღის ფუნქციას ორი განსხვავებული მნიშვნელობა აქვს პერიოდის ნახევრის სიგრძის შუალედებზე. იმისათვის, რომ ვარებულიროთ

მნიშვნელობების შეაღედის სიგრძე, ორი კვადრატული ტალღის გამოსახულებას გამრავლებთ ერთმანეთზე:

$$sqw_i = \frac{1}{2} * \left( 1 + (-1)^{\left\lfloor \frac{2*(t-t_{i-1})}{T} \right\rfloor} \right) * \frac{1}{2} * \left( 1 + (-1)^{\left\lfloor \frac{2*(t-(t_i-\frac{T}{2}))}{T} \right\rfloor} \right) \quad (17)$$

მისი მნიშვნელობებია  $[t_{i-1}, t_i]$  შეაღედზე  $-1$ , ხოლო პერიოდის დანარჩენ მონაკვეთებზე  $-0$ . ეს თვისება უზრუნველყოფს იმას, რომ პარამეტრიზაციის  $f$  ფუნქციაში უმველი  $f_i$  წევრი “აქტიურდება” შესაბამის მონაკვეთზე, ხოლო დანარჩენ მონაკვეთებზე “ქრება” (ნახ. 14), ე.ო.

$$f(t) = f_i(t), \quad \forall i = 1..n \quad (18)$$



ნახ. 14. პარამეტრიზაციის ფუნქციის კოეფიციენტის გრაფიკი

გარდა ამისა, უბან-უბან მუდმივი ფუნქციის თვისებიდან გამომდინარე, კვადრატული ტალღის აღმდევრი ფუნქციის წარმოებული  $=0$ , ამდენად, გვექნება:

$$(f_i * sqw_i)' = f_i' * sqw_i \quad \text{და} \quad (f_i * q_i)'' = f_i'' * sqw_i \quad (19)$$

და, აქედან გამომდინარე:

$$f'(t) = f_i'(t), \quad \forall i = 1..n \quad \text{და} \quad t \in [t_{i-1}, t_i] \quad (20)$$

$$f''(t) = f_i''(t), \quad \forall i = 1..n \quad \text{და} \quad t \in [t_{i-1}, t_i] \quad (21)$$

კ. ი. (9) გამოსახულება აკმაყოფილებს (4) მოთხოვნებს და ის შეგვიძლია გამოვიყენოთ წონის ფუნქციის შესაბამის კოეფიციენტებად (1) გამოსახულებაში.

▪ (ლემა 1-ის დამტკიცება)

**შენიშვნა 1.**  $f_i$  ფუნქციების რამდენიმე თვისება:

ა) იმის გათვალისწინებით, რომ წირის პოლონომური აღწერისას ყოველი რკალის ბოლოები  $X$  დერძს უნდა ეყრდნობოდეს, გვექნება:

$$f_i'(t_{i-1}) = f_i'(t_i) = 0 \quad (22)$$

ბ) რკალების თანაბარი სიმრუდისათვის:

$$f_i''(t_{i-1}) = -f_i''(t_i) = 0 \quad \forall i = 1..n \quad (23)$$

გამოთვლების გასამარტივებლად შეგვიძლია ჩავთვალოთ:

$$f_i''(t_{i-1}) = f_i''(t_i) = 0 \quad \forall i = 1..n \quad (24)$$

რადგანაც გარდა ზემოაღნიშნულისა,  $f_i$  ფუნქციები უნდა აკმაყოფილებდეს შემდეგ პირობებს:

$$\begin{aligned} f_i(t_i) &= f_{i+1}(t_i) \\ f_i'(t_i) &= f_{i+1}'(t_i) \\ f_i''(t_i) &= f_{i+1}''(t_i) \\ f_1(0) &= f_n(2\pi) \\ f_1'(0) &= f_n'(2\pi) \\ f_1''(0) &= f_n''(2\pi) \end{aligned} \quad (25)$$

$i$  - ური რკალი შეესაბამება პერიოდის  $[t_{i-1}, t_i]$  შეალენდს. რაც შეეხება თავად პარამეტრიზაციის ფუნქციის წევრ  $f_i$  ტრიგონომეტრიულ ფუნქციებს, მათი არგუმენტი არის  $\alpha_i * t$ , სადაც ყოველ რკალზე არგუმენტის  $\alpha_i * t$  სიდიდე იცვლება 0-დან  $\pi$ -მდე.  $\alpha_i$  პარამეტრი განსაზღვრავს  $f_i$  ფუნქციების პერიოდს, რომელიც  $2 * \pi$ -ს ჯერადი უნდა იყოს (ზოგადად, არჩეული  $T$ -ს ჯერადი) დაუწი ჯერადობით.

იმის გათვალისწინებით, რომ წირის პოლონომური აღწერისას ყოველი რკალის ბოლოები  $X$  დერძს უნდა ეყრდნობოდეს, გვექნება:

$$f_i'(0) = f_i'(\pi) = 0 \quad (26)$$

ხოლო რკალების თანაბარი სიმრუდისათვის:

$$f_i''(0) = -f_i''(\pi) \quad (27)$$

გამოთვლების გასამარტივებლად შეგვიძლია წინასწარ დავაფიქსიროთ:

$$f_i''(t_i) = 0 \quad \forall i = 1..n \quad (28)$$

შენიშვნა 2.  $f_i$  ფუნქციების არგუმენტად ვიღებთ არა უშალოდ  $t$ -ს, არამედ  $\alpha_i * t$  სიდიდეს ისე, რომ:

$$\forall t \in [t_{i-1}, t_i] : 0 \leq \alpha_i * (t - t_i) \leq \pi \quad (29)$$

$\alpha_i$  პარამეტრები განსაზღვრავს  $f_i$  ფუნქციის პერიოდს, რადგანაც  $T(f_i) = 2\pi/\alpha_i$  და სამართლიანია შემდეგი:

**ლემა 2.**  $\alpha_i$  პარამეტრები აკმაყოფილებენ ტოლობას:

$$\sum_{i=1}^{n-1} \frac{1}{\alpha_i} = 2 \quad (30)$$

დამტკიცება: ვთქვათ,  $\alpha_i$  პარამეტრები რაღაც წესით შევარჩიეთ, მაშინ (18)-ს შესაბამისად  $[0, 2\pi]$  შუალედი დაიყოფა შემდეგი წესით:

*ცხრ. 1.  $[0, 2\pi]$  შუალედის დაყოფა  $n$  მონაკვეთად*

$i$	$t_{i-1}$	$t_i$
1	0	$\frac{\pi}{\alpha_1}$
2	$\frac{\pi}{\alpha_1}$	$\frac{\pi}{\alpha_1} + \frac{\pi}{\alpha_2}$
3	$\frac{\pi}{\alpha_1} + \frac{\pi}{\alpha_2}$	$\frac{\pi}{\alpha_1} + \frac{\pi}{\alpha_2} + \frac{\pi}{\alpha_3}$
...	...	...
$n$	$\frac{\pi}{\alpha_1} + \frac{\pi}{\alpha_2} + \frac{\pi}{\alpha_3} + \dots + \frac{\pi}{\alpha_{n-1}}$	$\frac{\pi}{\alpha_1} + \frac{\pi}{\alpha_2} + \frac{\pi}{\alpha_3} + \dots + \frac{\pi}{\alpha_{n-1}} + \frac{\pi}{\alpha_n}$

ზოგადად,  $i$ -ერ რკალზე დროითი ცვლადი გაივლის მონაკვეთებს:

$$t \in [t_{i-1}, t_i], \text{ ხადა } t_0 = 0, \quad t_i = \sum_{j=1}^{n-1} \frac{1}{\alpha_j}, \quad \forall i = 1..n \quad (31)$$

$t_i$  წარმოადგენს  $i$  -ერი რკალის საბოლოო და  $i+1$  რკალის საწყის წერტილს. მთლიანი წირის საბოლოო წერტილი, რომელიც უნდა დაემთხვევს წირის საწყის წერტილს, იქნება  $t_{n=2}$  შესაბამისად:

$$\sum_{i=1}^{n-1} \frac{1}{\alpha_i} = 2 * \pi, \quad (32)$$

$$\text{ძეგლი: } \sum_{i=1}^{n-1} \frac{1}{\alpha_i} = 2 \quad (33)$$

▪ (ლემა 2-ის დამტკიცება)

**შენიშვნა 3:**  $\forall \alpha_i$  განსაზღვრავს შესაბამისი რკალის სიმრუდეს, ან რაც იგივეა, რკალის სიმაღლის ( $h$ ) შეფარდებას რკალის სიგანესთან ( $\Delta x$ ). ზოგადად, თუ რკალის სიმაღლეს წინასწარ არ დავაფიქსირებთ, მარტივი ტრიგონომეტრიული ფუნქცია ( $\cos(t)$  ან  $\sin(t)$ )  $\alpha * t \in [0, \pi]$  შეალებზე აღწერს რკალს, რომელიც მაქსიმუმს (მინიმუმს) აღწევს  $\alpha * t = \frac{\pi}{2}$  წერტილში და  $h = \alpha * \Delta x * p$ , სადაც  $p$  პროპორციულობის კოეფიციენტი დამოკიდებულია ფუნქციის კონკრეტულ სახეზე და ერთი და იგივეა ამ სახის ყოველი ფუნქციისათვის ნებისმიერი სხვა კოეფიციენტების შემთხვევაში.

**შენიშვნა 4:** იმ შემთხვევაში, თუ რკალების სიმაღლეს, ან, რაც იგივეა, რკალების ურთიერთგანლაგებას, მნიშვნელობა არ ექნებოდა,  $\alpha$  პარამეტრს ყველა რკალისთვის ავიდებდით ერთი და იმავე სიდიდეს, ანუ (24)-ის გათვალისწინებით გვექნებოდა:  $\alpha = \frac{n}{2}$ . მაგრამ, რადგანაც განვიხილავთ გარდაქმნილი AFL წირის – ორ ნაწილად წარმოდგენილი წირის – ჰოლონომურ პარამეტრიზაციას, აპრილი ვიცით, რომ ARCADE ნაწილში რკალების სიმაღლე გარკვეულად უნდა შეესაბამებოდეს FADEN ნაწილის რკალების სიმაღლეს. აქედან გამომდინარე, შენიშვნა 2-ის გათვალისწინებით, შეგვიძლია დავასკვნათ, რომ წირის ARCADE და FADEN ნაწილებში  $\alpha$  პარამეტრი სხვადასხვა იქნება.

**ლემა 3.** რკალების რაოდენობის მიუხედავად, წირის ARCADE და FADEN ნაწილები იკავებენ თანაბარ დროს, სრული პერიოდის ნახევარს.

**დამტკიცება.** შენიშვნა 4-ის გათვალისწინებით, წირის FADEF ნაწილში პარამეტრი აღვნიშნოთ  $\alpha_f$ -ით, ხოლო ARCADE ნაწილში პარამეტრი აღვნიშნოთ  $\alpha_a$ -ით.

$$T_a = \frac{\pi}{\alpha_a} \quad (34)$$

სადაც  $T_a$  არის თითოეული რკალის აღმწერი ფუნქციის შესაბამისი შეალები ARCADE ნაწილში და

$$T_f = \frac{\pi}{\alpha_f} \quad (35)$$

სადაც  $T_f$  არის თითოეული რკალის აღმწერი ფუნქციის შესაბამისი შეალები FADEF ნაწილში.

მთლიანად ARCADE ნაწილი იკავებს

$$TA = m * \frac{\pi}{\alpha_a} \quad (36)$$

შეალებს, ხოლო FADEF ნაწილი იკავებს

$$TF = (n - m) * \frac{\pi}{\alpha_f} \quad (37)$$

შეალებს, სადაც  $n$  არის მთლიან წირში რკალების საერთო რაოდენობა, ხოლო  $m$  - ARCADE ნაწილში რკალების რაოდენობა.

მთლიანი წირის სრული შეალები (რომელიც პერიოდის ტოლია) იქნება:

$$T = m * T_a + (n - m) * T_f \quad (48)$$

$$T = \pi * \left( \frac{m}{\alpha_a} + \frac{n-m}{\alpha_f} \right) \quad (49)$$

$\alpha_a$  და  $\alpha_f$  უნდა შევარჩიოთ ისე, რომ ARCADE ნაწილში რკალების მაქსიმალური სიმაღლე მოდულით ნაკლები იყოს FADEN ნაწილში რკალების მინიმალურ სიმაღლეზე მოდულით, ამისათვის უნდა შესრულდეს პირობა:

$$\min_{Faden} |x_k - x_{k+1}| * pf * \alpha_f > \max_{Arkade} |x_l - x_{l+1}| * p1 * \alpha_a \quad (40)$$

$$\frac{\frac{2*\pi}{\pi}}{\alpha_a} = 2 * \alpha_a \quad (41)$$

$$\frac{\frac{2*\pi}{\pi}}{\alpha_f} = 2 * \alpha_f \quad (42)$$

$$\frac{\frac{2*\pi}{\pi}}{\frac{m*\pi}{\alpha_a}} = \frac{2*\alpha_a}{m} \quad (43)$$

$$\frac{\frac{2*\pi}{\pi}}{\frac{(n-m)*\pi}{\alpha_f}} = \frac{2*\alpha_f}{n-m} \quad (44)$$

მთლიანი ფუნქციის პერიოდულობის გათვალისწინებით,  $\frac{T}{TA}$  და  $\frac{T}{TF}$  სიდიდეები უნდა იყოს მთელი, უფრო მეტიც, დაუწი სიდიდეები. ამასთან, მთელი პერიოდი შეიცავს ერთ ARCADE და ერთ FADEN ნაწილებს, ანუ

$$\frac{T}{TA} = \frac{T}{TF} = 2 \quad (45)$$

რაც გვაძლევს საშეალებას, დავასკვნათ, რომ რკალების რაოდენობისგან დამოუკიდებლად, პოლონომურად გარდაქმნილ წირში ARCADE და FADEN ნაწილების აღწერას სჭირდება თანაბარი დრო – სრული პერიოდის ნახევარი.

$$TA = TF \quad (46)$$

(ლემა 3 დამტკიცებულია)

აქედან, როგორც შედგი, გამომდინარეობს, რომ თუ თავდაპირველი AFL წირი ისეთია, რომ მასში არაპოლონომური კვეთები არ არის, ან დადის ასეთ სახეზე, ე.ი. მხოლოდ FADEN ნაწილის გარდაქმნაა საჭირო, ARCADE ნაწილში მხოლოდ ერთი რკალი იქნება, აქედან გამომდინარე,

$$\alpha_1 = 1 \quad \text{და} \quad \alpha_f = n - 1 \quad (47)$$

## პოლონომური პარამეტრიზაციის ფუნქცია

თეორემა 2. თუ პოლონომურად გარდაქმნილი წირის ყოველ რკალს აღვწერთ ფუნქციით:

$$f_i = a_i * \operatorname{arctg}(q_i * \cos(\alpha_i * t)) + f_i * \cos(\alpha_i * t) + c_i \quad (48)$$

სადაც  $q_i > 0$ , და განისაზღვრება გარკვეული პირობების მიხედვით, ხოლო  $\alpha_i$  ნატურალური რიცხვია და განისაზღვრება FADEN და ARCADE ნაწილებში რკალების რაოდენობის შესაბამისად, მაშინ ფუნქცია

$$f = \sum_{i=1}^{i=n} f_i * sqw_i \quad (49)$$

ახდენს პოლონომურად გარდაქმნილი წირის პოლონომურ პარამეტრიზაციას. ამასთან,  $q_i$  პარამეტრები განსაზღვრავს ფუნქციის სახეს და იგი ერთი მუდმივია FADEN ნაწილის რკალებისთვის, მეორე მუდმივია ARCADE ნაწილის იმ რკალებისთვის, რომლებიც “ეხვევა” FADEN რკალებს, მესამე მუდმივია - ARCADE ნაწილის იმ რკალებისთვის, რომლებიც “არ ეხვევა” FADEN რკალებს.

**დამტკიცება:** ჩვენ უნდა ვაჩვენოთ, რომ (49) ფუნქცია აკმაყოფილებს პოლონომურობის 3 თვისებას.

განვიხილოთ (48) ფუნქცია ზოგადად და მისი წარმოებულები:

$$f = a * \operatorname{arctg}(q * \cos(\alpha * t)) + b * \cos(\alpha * t) + c \quad (50)$$

$$f' = a * \frac{1 * q * \alpha * (-\sin(\alpha * t))}{1 + q^2 * \cos^2(\alpha * t)} + b * \alpha * (-\sin(\alpha * t)) = -\alpha * \sin(\alpha * t) * \left( \frac{a * q}{1 + q^2 * \cos^2(\alpha * t)} + b \right) \quad (51)$$

$$\begin{aligned} f'' = & -\alpha^2 \cos(\alpha * t) * \left( \frac{a * q}{1 + q^2 * \cos^2(\alpha * t)} + b \right) - \alpha * \sin(\alpha * t) * \left( \frac{-a * q * q^2 * 2 * \cos(\alpha * t) * (-\sin(\alpha * t)) * \alpha}{(1 + q^2 * \cos^2(\alpha * t))^2} \right) = \\ & -\alpha^2 \cos(\alpha * t) * \left( \frac{2 * a * q^3 * \sin^2(\alpha * t)}{(1 + q^2 * \cos^2(\alpha * t))^2} + \frac{a * q}{1 + q^2 * \cos^2(\alpha * t)} + b \right) \end{aligned} \quad (52)$$

ავტომატურად სრულდება შემდეგი პირობები:

$$f'(0) = f'(\pi) = 0 \quad (53)$$

$$f''(\pi - t) = -f''(t) \quad (54)$$

დამატებით თუ მოვითხოვთ, რომ შესრულდეს პირობა:

$$f''(0) = 0 \quad (55)$$

მივიღებთ:

$$\frac{2 * q^3 * \sin^2 0}{(1 + q^2 * \cos^2 0)^2} + \frac{a * q}{1 + q^2 * \cos^2 0} + b = \frac{a * q}{1 + q^2} + b = 0 \quad (56)$$

აქედან:

$$b = -\frac{a * q}{1 + q^2} \quad (57)$$

და თავდაპირებული ფუნქცია და მისი წარმოებულები მიიღებს სახეს:

$$f = a * \operatorname{arctg}(q * \cos(\alpha * t)) - \frac{a*q}{1+q^2} * \cos(\alpha * t) + c \quad (58)$$

$$f' = -\alpha * a * \sin(\alpha * t) * \left( \frac{q}{1+q^2 * \cos^2(\alpha * t)} - \frac{q}{1+q^2} \right) \quad (59)$$

$$f'' = -a * \alpha^2 \cos(\alpha * t) * \left( \frac{2*q^3 * \sin^2(\alpha * t)}{(1+q^2 * \cos^2(\alpha * t))^2} + \frac{q}{1+q^2 * \cos^2(\alpha * t)} - \frac{q}{1+q^2} \right) \quad (60)$$

განვიხილოთ ფუნქციის თვისებები: თუ მოვითხოვთ  $q > 0$ , მაშინ

$$\frac{q}{1+q^2 * \cos^2(\alpha * t)} - \frac{q}{1+q^2} \geq 0 \quad \forall q > 0 \quad (61)$$

ნულთან ტოლობა მიიღება, როცა  $\cos^2(\alpha * t) = 1$ , ანუ ინტერვალის ბოლოებზე  
და

$$\frac{2*q^3 * \sin^2(\alpha * t)}{(1+q^2 * \cos^2(\alpha * t))^2} + \frac{q}{1+q^2 * \cos^2(\alpha * t)} - \frac{q}{1+q^2} \geq 0 \quad \forall q > 0 \quad (62)$$

აქაც ნულთან ტოლობა მიიღება ინტერვალის ბოლოებზე

ანუ  $q > 0$  შემთხვევაში გარანტირებულია ფუნქციის მკაცრი მონოტონურობა და ფუნქციის წარმოებულის მკაცრი ამოზნექილობა ან ჩაზნექილობა ( $a$ -ს ნიშნის მიხედვით), რაც უზრუნველყოფს იმას, რომ კვანძის გეგმილისთვის XOX სიბრტყეზე  $\forall t \in [t_{i-1}, t_i]$  მონაკვეთზე გვექნება ნახევარელიფსის ფორმის მქონე რკალები და რკალის დაფიქსირებული სიგანის შემთხვევაშიც რკალის სიმაღლე შეგვიძლია ნებისმიერად ვცვალოთ  $q$ -ს არჩევის მიხედვით. ეს ფაქტორი გვაძლევს პოლინომურ წირში რკალების “სწორი” ურთიერთგანლაგების საშუალებას.

ვიპოვოთ  $a$  და  $c$  სიდიდეები:

$$f(0) = a * \operatorname{arctg}(q * \cos(0)) - \frac{a*q}{1+q^2} * \cos(0) + c = a * \operatorname{arctg}(q) - \frac{a*q}{1+q^2} + c = -x0 \quad (63)$$

$$f(\pi) = a * \operatorname{arctg}(q * \cos(\pi)) - \frac{a*q}{1+q^2} * \cos(\pi) + c = -a * \operatorname{arctg}(q) + \frac{a*q}{1+q^2} + c = -x1 \quad (64)$$

ამ თრი ტოლობიდან გვექნება:

$$c = -\frac{x0+x1}{2} \quad (65)$$

$$-2 * \left( a * \operatorname{arctg}(q) - \frac{a * q}{1 + q^2} \right) = x0 - x1$$

$$a * \left( \operatorname{arctg}(q) - \frac{q}{1 + q^2} \right) = \frac{x1 - x0}{2}$$

$$a = \frac{x0 - x1}{2} * \frac{q^2 + 1}{q - (q^2 + 1) * \operatorname{arctg}(q)} = \frac{x1 - x0}{2} * \frac{q^2 + 1}{(q^2 + 1) * \operatorname{arctg}(q) - q} \quad (66)$$

გამოვითვალოთ კონკრეტული რეალის სიმაღლეები:

$$h_0 = -\alpha * \mathbf{1} * a * \left( \frac{q}{1+q^2*0} - \frac{q}{1+q^2} \right) = -\alpha * a * \frac{q^3}{1+q^2} \quad (67)$$

$a$ -ს გამოსახულების გათვალისწინებით გვექნება:

$$h_0 = -\alpha * a * \frac{q^3}{1+q^2} = -\alpha * \frac{q^3}{1+q^2} * \frac{x0-x1}{2} * \frac{q^2+1}{(q^2+1)*arctg(q)-q} = -\alpha * \frac{x0-x1}{2} * \frac{q^3}{(q^2+1)*arctg(q)-q} \quad (68)$$

$$\frac{q^2+1}{(q^2+1)*arctg(q)-q} > 0 \quad \forall q \geq 1, \text{ რადგანაც } arctg(1) = \pi/4 \text{ და } \lim_{q \rightarrow \infty} arctg(q) = \pi/2 \quad (69)$$

მივიღეთ, რომ რეალის სიმაღლე პირდაპირპორციულია რეალის სიგანის,  $\alpha$  პარამეტრის და ასევე დამოკიდებულია  $q$  სიდიდეზე, რაც გვაძლევს იმის საშუალებას, რომ რეალის სიმაღლე ვცვალოთ საჭიროებისამებრ, რაც მნიშვნელოვანია იმ შემთხვევაში, როცა თავდაპირველ კვანძში გვაქვს არაპოლონომური კვეთები.

გაკეთებულია  $AFL \rightarrow Holonomic$  ალგორითმის რეალიზაცია **C++** ენაზე და გამოთვლილია სამყურა კვანძის და რვიანი კვანძის შესაბამისი გარდაქმნების  $x$  კოორდინატები და აგებულია მათი გრაფიკები 2.3 ფუნქციით **Wolfram Mathematica** გარემოში. აღნიშნული გრაფიკები მოცემულია დანართების სახით.

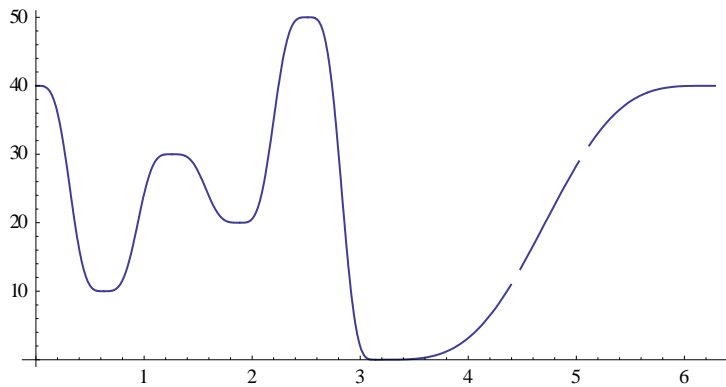
## სირთულეები და სამომავლო გეგმები

უნდა აღინიშნოს, რომ ამ ფუნქციით ხდება კვანძის პოლონომური აღწერა, თუმცა, გადაბმის წერტილებში, ანუ  $[t_{i-1}, t_i]$  მონაკვეთების ბოლოებში წირების შეერთება საკმარისად გლუვი არ არის, რაც შერჩეული ფუნქციის მოდიფიკაციისკენ, ან ახალი ფუნქციის შედგენისკენ გვიძიდვებს.

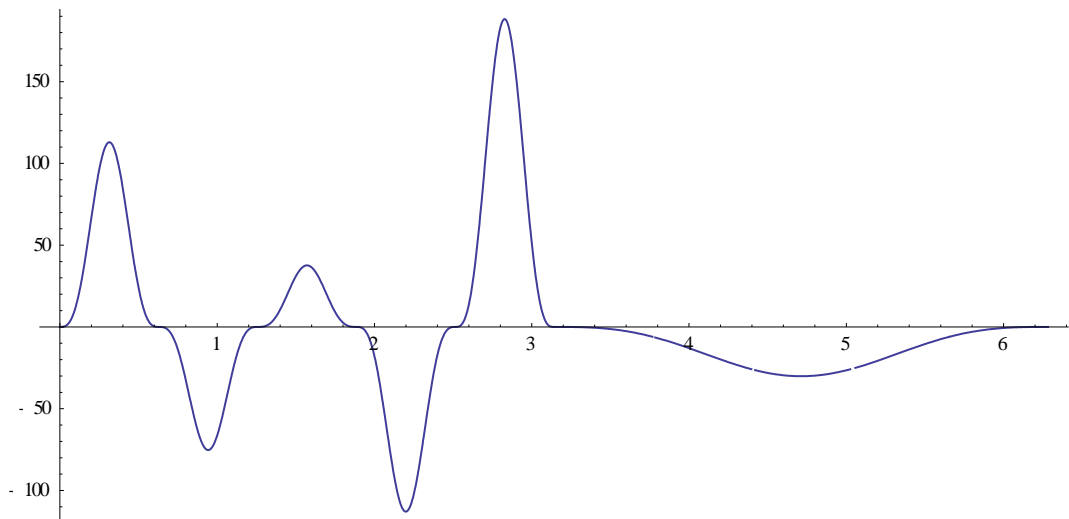
შემდგომ ეტაპზე გათვალისწინებულია შესაბამისი პროგრამული პაკეტის შექმნა პოლონომური წირების ასაგებად **C++** ენის და **Wolfram Mathematica** გარემოს გათვალისწინებით.

## დანართი 1.

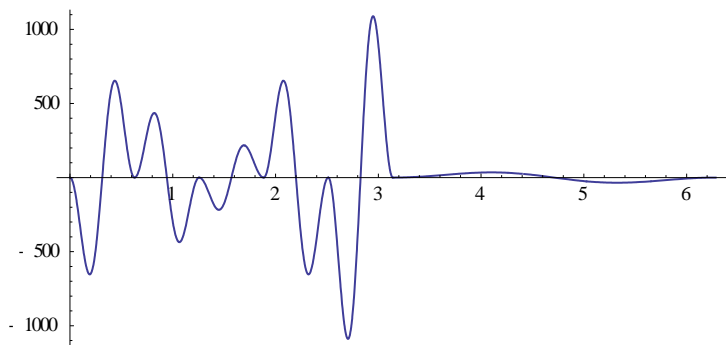
სამყურას შესაბამისი  $-f$  ფუნქციის გრაფიკი



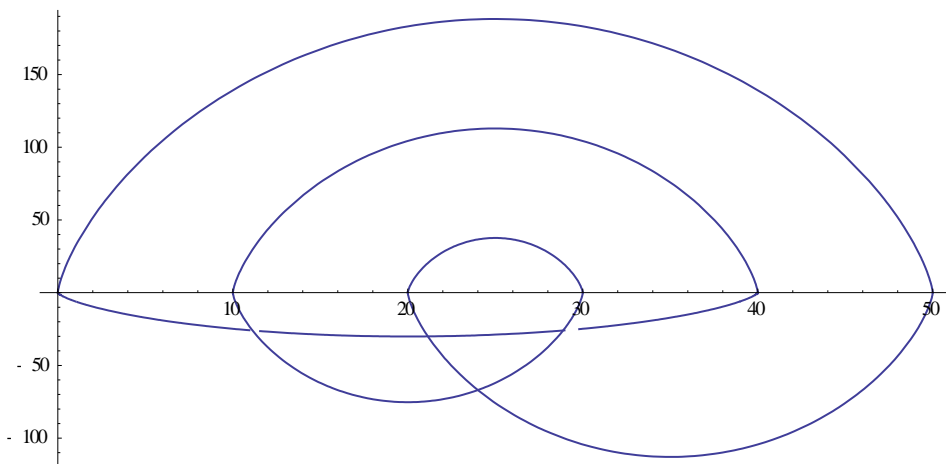
სამყურას შესაბამისი  $f'$  ფუნქციის გრაფიკი



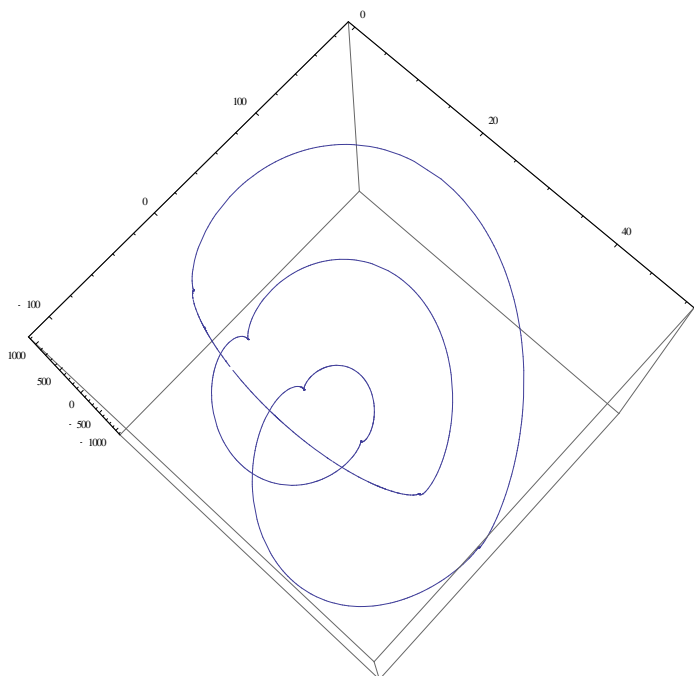
სამყურას შესაბამისი  $-f''$  ფუნქციის გრაფიკი



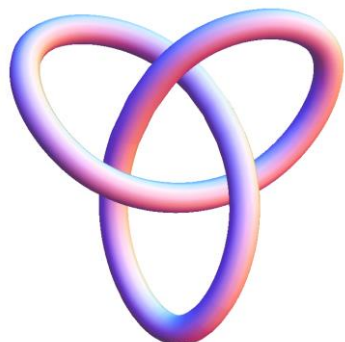
სამყურას შესაბამისი პოლონომური წარმოდგენის  $(-\mathbf{f}, \mathbf{f}')$  გეგმილი **OXY** სიბრტყეზე



სამყურას შესაბამისი პოლონომური წარმოდგენი  $(-\mathbf{f}, \mathbf{f}', -\mathbf{f}'')$

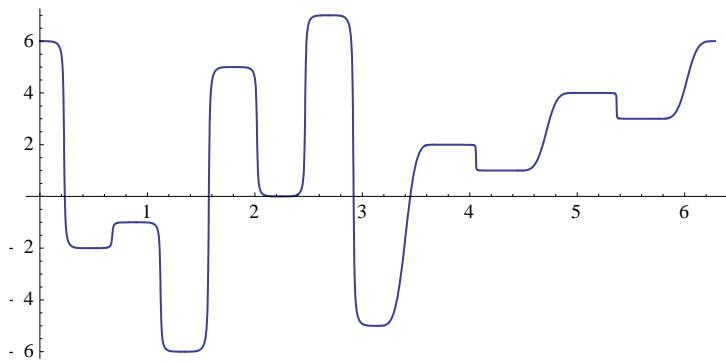


სამყურა

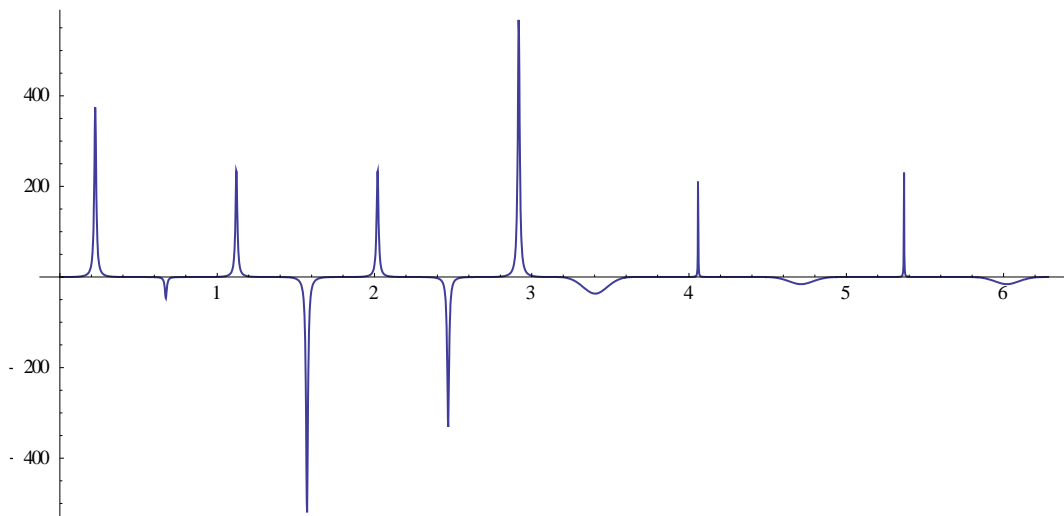


## დანართი 2

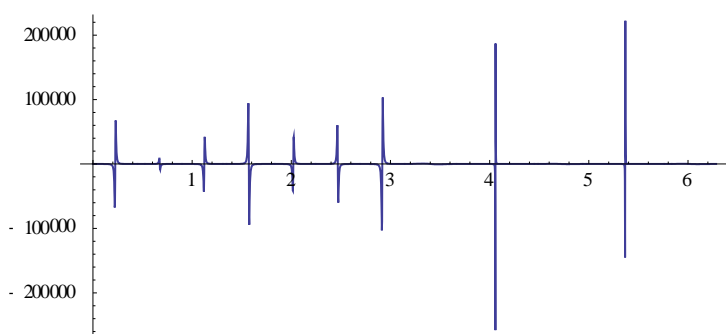
რეიანის შესაბამისი  $-f$  ფუნქციის გრაფიკი



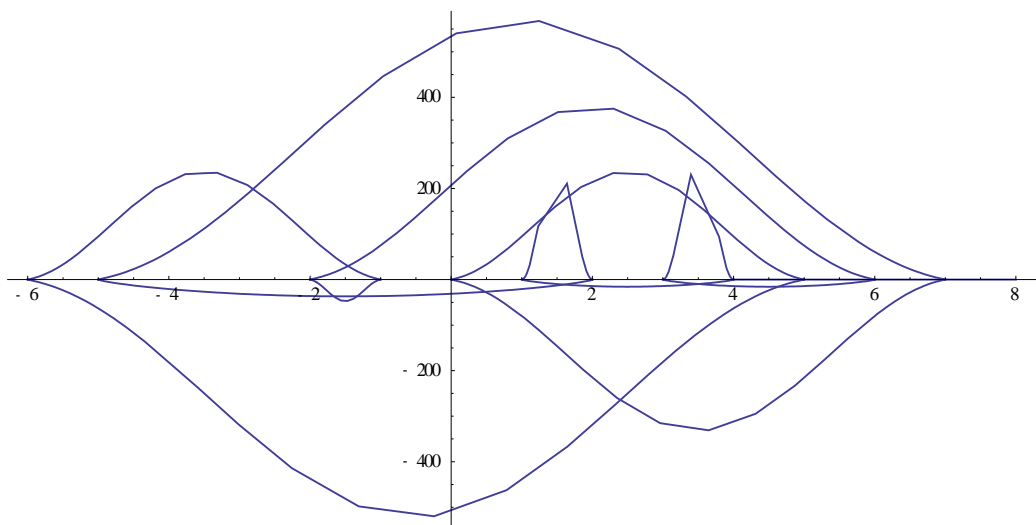
რეიანის შესაბამისი  $f'$  ფუნქციის გრაფიკი



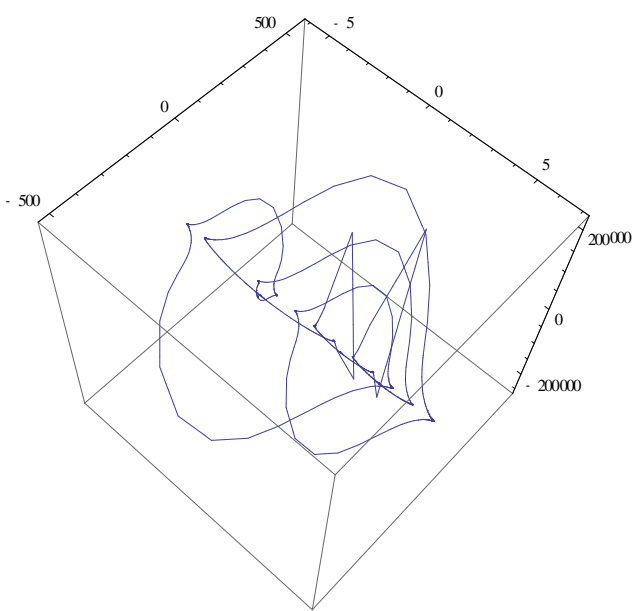
რეიანის შესაბამისი  $-f''$  ფუნქციის გრაფიკი



რვიანის შესაბამისი პოლონომური წარმოდგენის  $(-\mathbf{f}, \mathbf{f}')$  გეგმილი **OXY** სიბრტყეზე



რვიანის შესაბამისი პოლონომური წარმოდგენა  $(-\mathbf{f}, \mathbf{f}', -\mathbf{f}'')$



რვიანი



## გამოყენებული ლიტერატურა

1. V. O. Manturov, Knot theory
2. J. S. Birman and N. C. Wrinkle, Holonomic and Legendrian parametrizations of knots,. J. Knot Theory Ramifications 9 (2000), 293 - 309.
3. A. Gamkrelidze and V. Apkhazava, On the Holonomic Parametrizations of Knots, Proceedings of European Computing Conference (ECC'09), Tbilisi, 2009, 248-252